# 厚膜シリコンフォトニクス偏波回転分離器の作製

Fabrication of Polarization Splitter-Rotator on Multi-Micron Silicon Photonics

○鈴木 優斗, 小松 憲人, 宮野 広基, 田之村 亮汰, 加藤 豪作, エルフィキ アブドラジズ, 種村 拓夫, 中野 義昭(東大院・エ)

°Yuto Suzuki, Kento Komatsu, Hiroki Miyano, Ryota Tanomura, Eisaku Kato, Abdulaziz E. Elfiqi, Takuo Tanemura, Yoshiaki Nakano (The Univ. of Tokyo)

E-mail: y.suzuki@hotaka.t.u-tokyo.ac.jp

### 1. 背景

厚さ  $1 \mu m$  以上の SOI (silicon on insulator) 層を用いた厚膜シリコンフォトニクス (SiPh) プラットフォームは、一般的なより薄い SOI 層を用いた SiPh と比べて伝搬損失や結合効率の観点で優れており、データセンタ内光配線や車載ネットワークへの利用が期待されている[1,2]. 一方、厚膜 SiPh では、光モードの閉じ込めが強く、偏波回転や偏波分離が難しいという制約があった. これに対して著者らは、V 溝を導入した導波路構造により、高効率な偏波回転分離器 (PSR: polarization splitter-rotator) が実現できることを提案し[3]、数値実証している[4]. 今回、V 溝導波路を実際に形成するためのプロセスを提案・確立し、所望の形状を作製することに成功したので報告する.

### 2. 素子の設計

図 1 に、V 溝を導入した厚膜 SiPh PSR[3,4]を示す。まず導入部において、V 溝の幅を所望の値まで徐々に広げ、その後、テーパ導波路において V 溝の幅を維持したまま導波路幅を徐々に広げることで、入力光のTE0モードを維持したままTM0モードを TE1 モードに断熱的に変換することが出来る[4]。最後に Y スプリッタで各モードの線形和を分離して出力する。 TM0 モードから TE1モードへの変換を効率的に行うためには、制御性良く V 溝を形成することが必須となる。

## 3. 作製プロセス

V 溝を高精度に形成するため、今回はテトラメチルアンモニウムヒドロキシド (TMAH) によるウェットエッチングを利用した. TMAH のような塩基性エッチャントを用いることで、シリコンの (100) 面と (111) 面のエッチングレートの差を利用した異方性エッチングが可能であり、角度 54.7°の正確なエッチングが得られる[5].

図2に作製プロセスの概略を示す. 厚膜 SOI 基板に Cr をスパッタリングし、電子線リソグラフィによるパターニングの後に Cr をドライエッチングすることでハードマスクを作製する. まず、マスクの外側部分を保護し、TMAH を用いたウェットエッチングにより V 溝を作製する。その後、中央部分を保護し、ボッシュプロセスのエッ

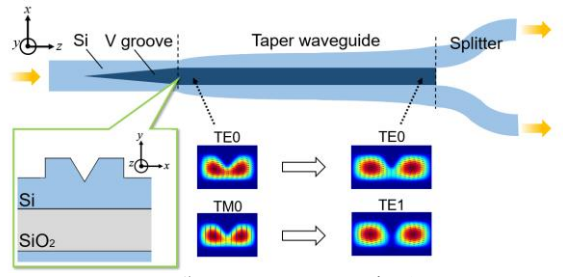


図1 厚膜 SOI 上の PSR の概略図.

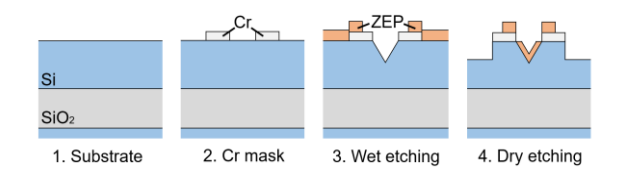


図2 作製プロセスの概略.

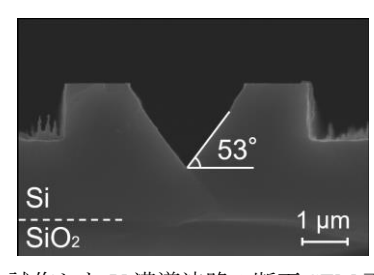


図3 試作したV溝導波路の断面 SEM 画像.

チングにより両側のリブ導波路を形成する. 今回 は保護膜に ZEP レジストを用い,電子線リソグラフィにより該当領域を保護した.

作製した V 溝導波路断面の走査電子顕微鏡 (SEM) 画像を図3に示す. 角度誤差1.5°以下で所望のV溝導波路構造が得られており,厚膜SiPh上に PSR が作製可能であることが確認できた. 今後,素子の性能評価を行う予定である.

**謝辞** 本研究成果は、国立研究開発法人情報通信研究機構の委託研究(21801)により得られた.素子の作製は、文部科学省「マテリアル先端リサーチインフラ」事業 (課題番号 PMXP09F20UT0122) の支援を受けた.

### 参考文献

[1] A. J. Zilkie et al., IEEE J. Sel. Top. Quantum Electron, **25**(5), 8200713 (2019). [2] T. Aalto et al., IEEE J. Sel. Top. Quantum Electron, **25**(5), 8201109 (2019). [3] 特願 2021-140541. [4] Y. Suzuki et al., OECC/PSC, MD2-6 (2022). [5] O. Tabata, Sensors and Materials, **13**(5), 271(2001).